

محاكاة حاسوبية لتجدد مسبوكات الألمنيوم في القوالب الدائمة¹

الدكتور خليل عزيمة³

المهندس محمود الحناوي²

الدكتور آن كليج⁴

الملخص

ينتُج عدد هائل من القطع والأجزاء الميكانيكية المعدنية باستخدام عملية السباكة. تعتمد جودة المنتجات المسكوبة من حيث المتانة والشكل بقدر كبير على عملية تجمد المعدن بعد السكب وطريقة انتقاله من الحالة السائلة إلى الحالة الصلبة. اقتُرِحَ في هذه الدراسة نموذج محاكاة حاسوبية لعملية تجمد مسبوكة من معدن الألمنيوم النقي في قالب معدني من الحديد الصب وذلك بالاستعانة بالمعادلات الرياضية التي تصف عملية التجمد المنشورة في المقالات المحكمة و باستخدام برنامج محاكاة حاسوبي متعدد. و قُورِنَت النتائج الحاسوبية مع التجارب العملية التي أجريت على مسبوكات مماثلة (من حيث الشكل الهندسي والمعدن المسكوب) و ذلك بمقارنة منحني التبريد الناتج عن عملية المعاكاة الحاسوبية مع منحني التبريد الناتج منأخذ قراءة الحرارة في المسبوكة خلال التجارب العملية. بينت الدراسة وجود تقارب كبير بين الحل الحاسوبي والتجربة العملية مما يتيح الاستنتاج بصلاحية النموذج الحاسوبي للتطبيق العملي.

الكلمات المفتاحية: سباكة المعادن، محاكاة التجمد.

¹ أعد هذا البحث في سياق رسالة الدكتوراه للطالب المهندس محمود الحناوي بإشراف الدكتور المهندس خليل عزيمة ومشاركة الدكتور آن كليج.

² قسم هندسة التصميم الميكانيكي، كلية الهندسة الميكانيكية والكهربائية، جامعة دمشق.

³ قسم هندسة التصميم الميكانيكي، كلية الهندسة الميكانيكية والكهربائية، جامعة دمشق.

⁴ قسم هندسة التصنيع، كلية ولفسون لهندسة الميكانيك والتكنولوجيا، جامعة لايفرا، إنكلترا.

1- مقدمة

تستخدم المحاكاة الحاسوبية لتمثيل عمليات أو ظواهر حقيقة باستخدام برامج مناسبة على الحاسوب الآلي، حيث يزود الحاسوب بالمعادلات الرياضية التي تحكم أو تمثل تلك العملية (أو الظاهرة) وتحدد الشروط الحدية لذاك المعادلات ويزود بالقيم الابتدائية لعدد من المتغيرات، ثم يطلب من البرنامج حساب أحد المتغيرات الأخرى (أو أكثر) وإظهار النتائج بأشكال مختلفة يمكن اختيارها (رقمية، صور، منحنيات بيانية....).

تستخدم المحاكاة الحاسوبية بكثرة في أيامنا هذه نظراً لما تؤمنه من إمكانية التنبؤ بالنتائج المستقبلية لمواضيع مختلفة مما يمكن من اتخاذ إجراءات استباقية (أو تعديلات) تجعل التوقعات المستقبلية مناسبة لما نحتاجه كما يحدث عندما تستخدم لتمثيل العمليات التصنيعية، أو في حالات أخرى تمكنا من التهيؤ للنتائج المتوقعة إذا لم يكن بالإمكان تغييرها كما يحدث في برامج المحاكاة الحاسوبية لحالة الطقس مثلاً.

يتعلق هذا البحث بإجراء عملية محاكاة حاسوبية لعملية تجمد المعدن المصهور Permanent Mould (solidification process) عند السباكة بالقالب الدائمة (Casting) يُستخدم فيها القالب المعدني المكون من قطعتين (أو أكثر) بشكل متكرر لإنتاج مسبوكتات من الشكل نفسه حيث يدخل المعدن إلى فجوة القالب بتأشير وزنه فقط (الجاذبية). السباكة بالقالب الدائمة مناسبة بشكل خاص لإنتاج مسبوكتات بكميات كبيرة والتي لها سماكة جدران متساوية تقريباً. ويمكن أن يسكب بهذه الطريقة الألمنيوم والمغنيزيوم والزنك و خلائط النحاس و الحديد الرمادي الهيبريونتكويد.

لمنع حدوث عيوب بالمسبوكتات المنتجة يتم فحص كل تصميم جديد ل قالب باستخدام نموذج أولي تجريبي (Prototyping) فيصنع قالب بالأبعاد الحقيقة وتجرى عليه تجارب سباكة حقيقة ثم تفحص النتائج و يعدل تصميم القالب بحيث يتم التخلص من العيوب و يسكب فيه ثانية و تفحص النتائج و هكذا حتى الوصول إلى نتائج مرضية.

إن إنتاج النموذج التجريبي للقالب الدائمة يمكن أن يكون باهظ التكاليف و ذلك بسبب

التكلفة المرتفعة لتصنيع قالب فضلاً عن الزمن والجهد المبذول في التعديل و التجارب المتكررة. إضافة إلى ذلك فإنه لا يمكن بالطريق التقليدية التتبُّؤ بالإجهادات الداخلية الناتجة ضمن المسبوكة خلال هذه التجارب ويستلزم الأمر الانتظار إلى حين القيام بعمليات التشغيل للمسبوكة التي يتم خلالها (في كثير من الحالات) تحطم العديد من المسبوکات بسبب الإجهادات الداخلية الناشئة بداخلها، أو وضع المسبوكة في العمل الحقيقي و مراقبة النتائج فترة زمنية طويلة للحصول على معلومات عن وجود إجهادات داخلية خطيرة أو سلامة المنتج و إمكانية استخدامه بأمان فترات طويلة.

إن استخدام المحاكاة العددية في مرحلة التصميم تخفض تكاليف النماذج الأولية للقوالب التجريبية وتسرع عملية التصميم حيث يمكن التتبُّؤ بأجزاء قالب التي قد تسبب عيوباً بالمسبوکات و إصلاحها باستخدام الحاسوب الآلي و دون الحاجة للنموذج التجريبي، فضلاً عن إمكانية التتبُّؤ بالإجهادات الداخلية المكونة داخل المسبوكة من خلال نماذج عملية التجمد، ومن ثم اقتراح الحلول و تجربتها حاسوبياً حتى الوصول إلى نتائج مرضية [1].

تستخدم صناعة المسبوکات بشكل أكثر هذه الأيام النماذج العددية مع التحقق التجريبي لعمليات تجمد المسبوکات و ذلك لتقليل زمن التصميم و تحسين عملية التصنيع عموماً بحيث تتحفظ تكاليف الإنتاج و زمانه [2].

يجب الاعتراف أنه من الصعب جداً نماذج عملية السباكة بدقة متناهية بسبب الظواهر الفيزيائية المعقدة المرتبطة بها و التي تتضمن فيما تتضمنه ميكانيك المواتع مع تغير الطور و انتقال الحرارة بين المسبوكة والقالب و المحيط الخارجي و ظاهرة التقلص والمسامية و الإجهادات الحرارية و ظاهرة الإنعزاز (macrosegregation) في الخليط، كما أن تعقيد شكل العناصر الميكانيكية يزيد من تعقيد عملية النماذج و المحاكاة. إن كَلَّاً من هذه الظواهر هو مجال لبحوث كثيرة، حيث تتطور هذه

التقنيات بسرعة كبيرة بسبب التفاف الكبير بين الشركات لزيادة الأرباح وخفض التكاليف [3].

إن مفاهيم التجدد وطرائقها قد دُرستْ وحلّلتْ بشكل معمق في كثير من المنشورات [4] [5] و [6] و مع تطور تكنولوجيا الحاسوب الآلية والطرائق العددية أصبح من الممكن الربط بين نمو البنية المجهرية و ظاهرة الانقال على شكل نموذج رياضي يعتمد على المعادلات الأساسية للطاقة و الكتلة و القدرة الحركية، و بتراكم هذه المعلومات تطورت أنواع مختلفة من النماذج الرياضية للتتبؤ بالبنية المجهرية للمسابوكات [7] و [8] و [9].

تعتمد الفكرة الأساسية للنمذجة الرياضية على تقسيم الفراغ الحسابي (الذي تشكله المسبوكة بشكلها وأبعادها) إلى سلسلة من العناصر المرتبطة فيما بينها، بحيث تمثل كل منها نظاماً مفتوحاً بالنسبة للتبدل الحراري و لكنها تكون مستقلة عندما يتعلق الأمر بنمو البنية المجهرية. و حتى تكون عملية المحاكاة قابلة التطبيق يجب اعتماد عدد من الفرضيات التقريرية لتمثيل عملية التصلب و التي تعتمد على نوع عملية السباكة [3].

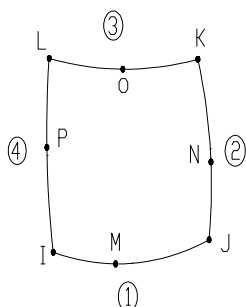
2- تحليل العناصر المتناهية الصغر (Finite Element Analysis)

إن أي نموذج رياضي مقبول يجب أن يكون قادرًا على تمثيل تغير البارامترات المؤثرة كما تحدث في الواقع، بحيث نستطيع توقع تأثيرها في المنتج النهائي. نظراً لأنَّ كل العملية تعتمد على التدفق الحراري من المسبوكة إلى القالب و من ثمَّ إلى المحيط الخارجي، فمن المنطقي تحديد الحقل الحراري في مراحل مختلفة من العملية.

منذ ظهور المقالة الرائدة لـ سارجانت و سلاك ((Sarjant and Slack (1954)) عن النمذجة الرياضية لتجدد المسبوكتات، نُشرَت العديد من الدراسات عن تطور النمذجة الرياضية لحساب عملية التجدد في المسبوكتات. ورغم أن التجدد هو عملية ثلاثة

الأبعاد، إلا أنه يمكن الحصول على نتائج مقبولة باستخدام نموذج ثنائي الأبعاد و خاصة في الأشكال غير المعقدة (الإسطوانية مثلًا).

إن النموذج الحراري المطبق هنا يستخدم طريقة غاليركين (Galerkin Method) [10] و عناصر متاهية الصغر مضلعة الشكل ثمانية العقد متماثلة الخواص (eight node quadratic isoparametric elements) (شكل رقم 1) وهي عناصر تمكنا من تمثيل تغير الناقلية الحرارية مع تغير الزمن و نمذجة انتقال الحرارة في الفجوة الهوائية التي تتشكل بين المسبوكه و سطح القالب.



شكل (1) - رسم تخطيطي لعنصر متاهي الصغر مضلعي الشكل ثمانى العقد متماثل الخواص

معادلات التدفق الحراري للعناصر المتاهية (Finite-element formulation of the heat-flow): [11]

شكل عام، فإن تغير درجة الحرارة T مع تغير الزمن بمنطقة ثنائية الأبعاد Ω محاطة بمنحي Γ تطلى بالمعادلة الآتية:

$$\rho c \frac{\partial T}{\partial t} = \frac{\partial}{\partial x} \left(k_x \frac{\partial T}{\partial x} \right) + \frac{\partial}{\partial y} \left(k_y \frac{\partial T}{\partial y} \right) \quad \dots (1)$$

حيث:

ρc - السعة الحرارية للمادة.

k_x, k_y -الناقلية الحرارية بالاتجاه الأفقي x و الشاقولي y.

الشروط الحدية لهذه المعادلة التفاضلية الجزئية هي معادلات التدفق الحراري بين المسبوكة وال قالب من جهة وبين القالب و الجو المحيط من جهة أخرى. و هي كما يأتي:

أ- بين المسبوكة والسطح الداخلي لل قالب:

$$q_{12} = h_{12} (T_1 - T_2) = (k_{12} / d_{12})(T_1 - T_2) \quad \dots \quad (2)$$

حيث:

h_{12} - معامل الانتقال الحراري بين سطح المسبوكة والسطح الداخلي لل قالب.

T_1 - درجة حرارة سطح المسبوكة.

T_2 - درجة حرارة السطح الداخلي لل قالب.

k_{12} - الناقلية الحرارية بين سطح المسبوكة والسطح الداخلي لل قالب.

d_{12} - عرض الفجوة الهوائية بين سطح المسبوكة والسطح الداخلي لل قالب.

ب- بين السطح الخارجي لل قالب و الجو المحيط:

$$q_{3\infty} = h_{3\infty} (T_3 - T_\infty) \quad \dots \quad (3)$$

حيث:

$q_{3\infty}$ - التدفق الحراري بين السطح الخارجي لل قالب و الجو المحيط.

$h_{3\infty}$ - معامل الانتقال الحراري بين السطح الخارجي لل قالب و الجو المحيط.

T_3 - درجة حرارة السطح الخارجي لل قالب.

T_∞ - درجة حرارة الجو المحيط.

تتغير قيمة معامل انتقال الحرارة h_{12} عندما تتشكل الفجوة الهوائية بين المسبوكة وال قالب . و لأخذ هذه الظاهرة بالحسبان فإن h_{12} تُعدُّ تابعاً للموضع على سطح المسبوكة والزمن . وقد استنتج أوترز ورفاقه (Oeters et al) [12] أن الحسابات تكون متوافقة إلى حد مقبول مع التدفق الحراري الفعلي في الفجوة الهوائية فيما لو اعتربنا أن سماكة تلك الفجوة هو 0.5 ملم . و قد استُخدمت هذه القيمة في هذا النموذج عند حساب الانتقال الحراري عبر الفجوة الهوائية بين سطح المسبوكة الخارجي والسطح الداخلي لل قالب .

حسبَتِ الحقول الحرارية في المسبوكة و القالب بشكل متزامن باستخدام معادلات العناصر المنتهية (Finite Elements) . فقد قسمت المنطقة المدرosaة إلى عدد من العناصر المتماثلة ثمانية العقد Ω^e ، بمحيط Γ^e له شكل مضلع N_i يتعلّق بكل عقدة . تُحسبُ درجة الحرارة التقريرية T في الحل ضمن المنطقة المدرosaة لكل عنصر في أي زمن بالعلاقة:

$$T = \sum_{i=1}^n N_i T_i(t). \quad \dots \quad (4)$$

حيث:

$T_i(t)$ - درجة الحرارة التابعة للزمن عند العقدة i .

N_i - شكل المضلع

بتعميض المعادلة (4) في المعادلة (1) و تطبيق طريقة غاليركين (Galerkin) [10] نحصل على المعادلة المصفوفية التركيب الآتية:

$$KT + CT = F, \quad \dots \quad (5)$$

حيث إنَّ عناصر المصفوفة هي:

$$K_{ij} = \sum_e \int_{\Omega^e} \left(K_x \frac{\partial N_i}{\partial x} \frac{\partial N_j}{\partial x} + K_y \frac{\partial N_i}{\partial y} \frac{\partial N_j}{\partial y} \right) d\Omega + \sum_e \int_{\Gamma^e} h N_i N_j d\Gamma, \quad .. (6)$$

$$C_{ij} = \sum_e \int_{\Omega^e} \rho c N_i N_j d\Omega, \quad (7)$$

$$F_i = - \sum_e \int_{\Gamma^e} N_i h T_\infty d\Gamma, \quad (8)$$

و تُحسبُ هذه التكاملات و المجاميع على كل عنصر e على حدة.

3. الحل باستخدام برنامج (ANSYS)

تم في هذا البحث حل النظام الثنائي من المعادلات التقاضية المبينة بالمعادلة (5)

بواسطة برنامج حاسوب متتطور (ANSYS 8.0)

لإنجاز الحل الرياضي استُخدمت مواصفات قالب معدني من الحديد الصلب قادر على إنتاج أربع عينات مشابهة من الألمنيوم في كل عملية سكب. كما هو مبين في الشكل رقم (2)، وقد زود القالب بست حساسات حرارية موصولة مع الحاسوب الآلي لقياس درجة حرارة القالب و المسبوكات في أثناء التجدد.

استُخدِمَ برنامج (ANSYS) لتمثيل محاكاة حاسوبية لمراحل تجمد إحدى مسبوكات القالب الأربع، و هي المسبوكة الأقرب إلى المحيط الخارجي من الجهة اليمنى (الشكل (2)).

نُفِّذَتْ هذه المحاكاة على خليطة الألمنيوم التجاري النقي (99.6% ألمانيوم) و الجدول رقم (1) يبيّن نتيجة تحليل التركيب الكيميائي لتلك الخليطة. استخدمت الموصفات الفيزيائية للألمنيوم النقي الموجودة في [13] و [14] كمدخلات للبرنامج و كذلك موصفات الحديد الصلب الخاص بال قالب المعدني. كما يبيّن الجدول رقم (2)

Al	Si %	Fe	Cu	Mn	Mg	Zn	Ti	Cr	Ni	Pb
99.547	0.11	0.328	0.0020	0.0010	0.0020	0.0019	0.0055	0.0021	0.0021	0.0001

الجدول رقم (1) - التركيب الكيميائي ل الخليطة المدرستة.

أجريت المعاكسة على أبعاد المسبوكة الحقيقية بإهمال المرضع والاستدقاق الطولي للعينة.

يتضمن إنجاز التحليل الحراري بطريقة العناصر المتناهية ثلاثة خطوات رئيسية هي:

- بناء النموذج
- تطبيق الأحمال وتنفيذ الحل
- مراجعة النتائج

Coefficient of heat conductivity for aluminum [14]

T, °C	-100	0	20	100	200	300
K _{Al} W/(m.°C)	231.9	228.4	228.0	228.4	228.4	228.4

Specific heat for aluminum C_{Al}, KJ/ (kg. °C) [14]

T, °C	0	50	100	150	200	300	400	500	600
C _{Al} KJ/(kg.°C)	0.895	0.904	0.913	0.925	0.938	0.955	0.979	0.996	1.022

Coefficient of heat conductivity for cast Iron [14]

T, °C	0	100	200	300	400
K _{CI} W/(m.°C)	49.0	46.5	44.5	43.2	42.4

Specific heat for cast iron C_{CI}, KJ/ (kg. °C) [14]

T, °C	100	200	300	400	500	600
C _{CI} KJ/(kg.°C)	0.4421	0.4605	0.4932	0.5079	0.5171	0.5346

بالنسبة لقيم h12 فيقوم البرنامج بتحديدها أثناء عملية الحل.

الجدول رقم (2)- الموصفات الفيزيائية للألمنيوم النقي والحديد الصلب المستخدمة كمدخلات في

البرنامج

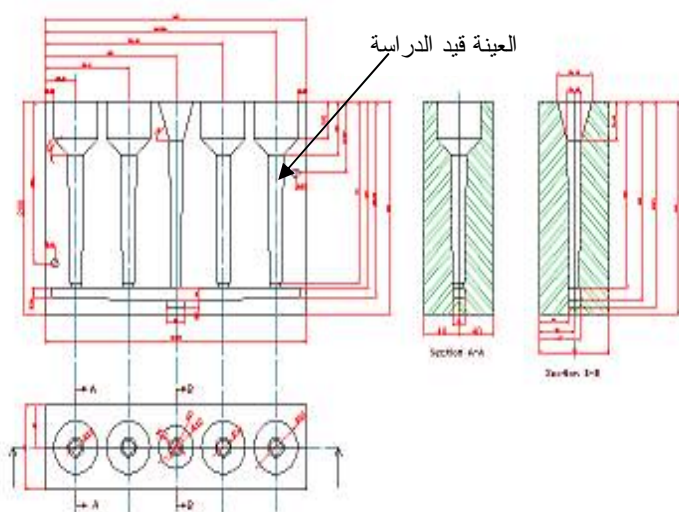
قيم درجات الحرارة المسجلة أثناء الاختبار :

Time (sec)	T °C
0	700
7	698
14	692
21	685
28	680
35	670
42	660
49	650
56	644
63	638
70	629
77	629
84	629
91	630
98	630
105	628
112	624
119	622
126	620
133	615
140	613
147	612
154	612
161	611
168	610
175	608
182	605
189	602
196	601
203	600
210	599
217	598
224	596
231	594
238	592
245	589
252	586
259	583
266	580
273	575
280	568
287	565
294	559
301	555
308	548
315	544
322	542
329	538
336	534
343	530

نتائج قياس درجات الحرارة أثناء العمل التجريبي :

3.1 بناء النموذج:

بداية نقوم بتسمية العمل و إعطائه عنواناً، ثم نحدد نوع العناصر المنتهية الصغر التي نريد استخدامها في التحليل الحراري (هنا استخدمنا عناصر مضلعة الشكل ثمانية العقد متمنثلة الخواص) و نحدد خواص المادة (عادة تكون خواص المواد متغيرة بتغيير درجات الحرارة، أدرج ذلك التغيير في البرنامج باستخدام جدول تغير الخواص بتغيير درجة الحرارة) و نرسم الشكل الهندسي للنموذج.



شكل (2) - رسم هندسي لل قالب المعدني المستخدم لعملية السباكة

3.2 تطبيق الأحمال وتنفيذ الحل:

تطبيق الأحمال يعني تحديد درجات الحرارة الابتدائية لعناصر النموذج المختلفة، فقد حُددَت درجة حرارة المعدن المصنَّع عند انتهاء عملية السكب و بدء المحاكاة 700 درجة مئوية. و درجة حرارة القالب عند بدء المحاكاة 250 درجة مئوية. و حرارة الجو المحيط بالقالب 25 درجة مئوية.

بعد انتهاء تطبيق الأحمال حُدِّدَ المجال الزمني لنتائج المحاكاة أي الفترة الزمنية من بدء المحاكاة إلى انتهائِها، وهي هنا 20 دقيقة. ثم أعطي أمر تنفيذ الحل.

استغرق الحل دقيقة تقريباً على حاسوب محمول نوع كومبياك سرعة معالجه 2.3 غigaهertz.

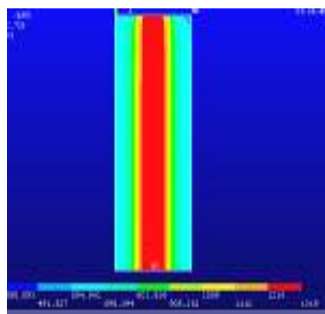
تبين الأشكال (من 3 إلى 10) مراحل مختلفة من نتيجة الحل.

4. نتائج المحاكاة الحاسوبية:

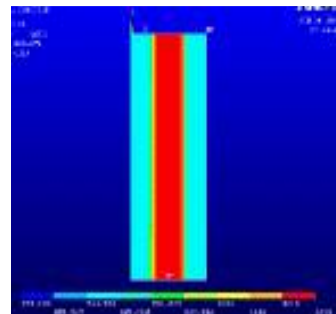
يتضح من الأشكال (10-3) التي تمثل عدة مراحل من المحاكاة الحاسوبية لعملية التجمد أن النتائج تشابه التوقعات من حيث مسار التجمد وذلك بأن يبدأ تجمد الحدود الجانبية للمسبوكه (المحيط) بما في ذلك الطبقة العلوية الملامسة للجو المحيط ثم يتوجه شعاع التجمد نحو الداخل و الأسفل. (في الشكل (10-3) الألوان الأكثر قتامة تمثل درجات الحرارة الأعلى)

ويكون محور التجمد مختلفاً عن محور المسبوكة مقترباً من الطرف اليساري لها وتفسير ذلك أن سرعة التجمد على الطرف اليمني للعينة أسرع منها على الطرف اليساري و ذلك بسبب قرب الطرف اليمني من سطح التلامس بين القالب والجو المحيط في حين من الطرف الأيسر هناك عينات أخرى (كما يوضح الشكل 2) أي إن سطح التلامس بين القالب والجو المحيط من الجهة اليسرى أبعد مما هي عليه على الجهة اليمنى ومن ثم تكون سرعة التجمد أبطأ.

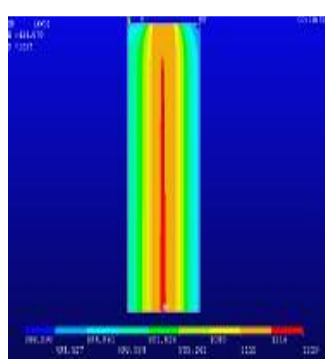
هذا من ناحية تحليل المشاهدة، ولكن كان لابد من اعتماد طريقة أخرى للمقارنة بين الواقع التجريبي والمحاكاة الحاسوبية للحكم على مدى صلاحية النموذج المقترن.



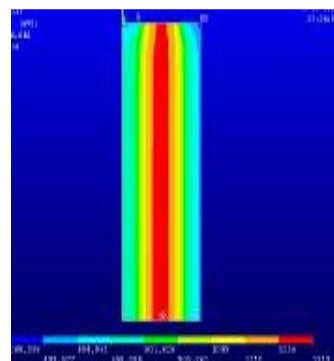
شكل (4) - بعد دقيقة من بدء التجمد



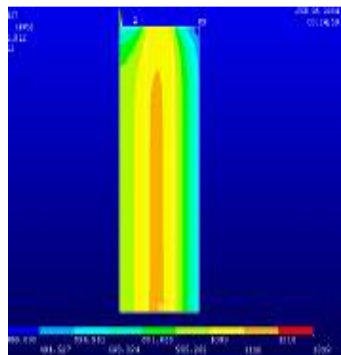
شكل (3) - بعد الماكاة عند الزمن صفر



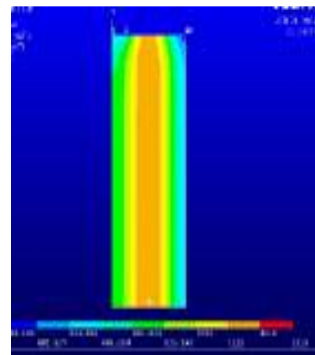
شكل (6) - بعد ثالث دقائق من بدء التجمد



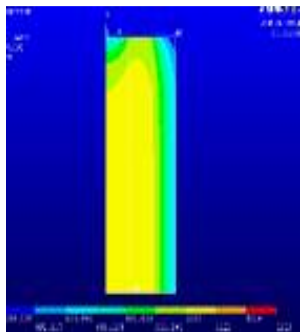
شكل (5) - بعد دقيقتين من بدء التجمد



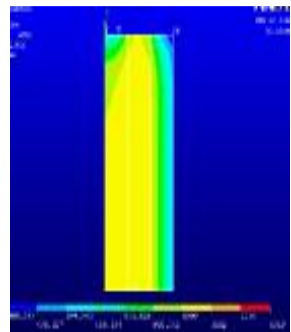
شكل (8) - بعد 11 دقيقة من بدء التجمد



شكل (7) - بعد خمس دقائق من بدء التجمد



شكل (10) - بعد 20 دقيقة من بدء التجمد



شكل (9) - بعد 15 دقيقة من بدء التجمد

5. مقارنة النتائج:

لنتتمكن من مقارنة نتائج التجربة المخبرية مع النتيجة الحاسوبية، سُجّلتْ خلال عملية السباكة المخبرية درجات حرارة المعدن المskob لبعض العينات في أثناء عملية التجمد، وذلك باستخدام مزدوجات حرارية مركبة على القالب المعدني بحيث تنغمس إلى مركز العينة الأسطوانية الشكل وتكون متوضعة من حيث الارتفاع في منتصف ارتفاع العينة (كما هو موضح في الشكل 2). أخذت قراءات درجات الحرارة بمعدل قراءة كل ثانيةين.

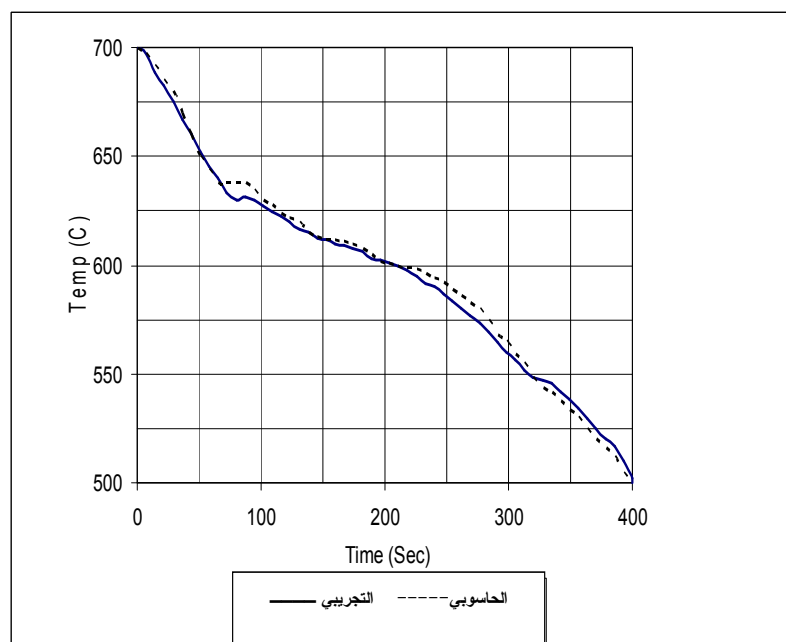
ثم نقلت هذه البيانات إلى الحاسب، ورسم منحنى التبريد لهذه العينات باستخدام برنامج مايكروسوفت إكسيل للمجال الزمني من صفر (لحظة انتهاء السكب) إلى 400 ثانية حيث كانت درجة الحرارة 500 مئوية تقريباً، والتي لا تحدث بعدها تحولات في الطور.

أما العينة التي جرت محاكاة تجمدها حاسوبياً فالبرنامج لديه ميزة رسم منحنى التبريد لأي نقطة تحدد إحداثياتها، ومن ثم زُوِّدَ الحاسب بإحداثيات النقطة التي وضع فيها المزدوجة الحرارية خلال التجربة المخبرية وطلب إليه رسم منحنى التبريد لها ضمن المجال الزمني نفسه (0-400 ثانية).

ثم نُقلَ الرسم لمنحنى التبريد (التجريبي والحاسوبي) إلى ورقة واحدة لتم المقارنة بينهما، وكانت النتيجة كما في الشكل (11).

رغم وجود بعض الاختلاف بين المنحنين و خاصة في منطقة تغير الطور من سائل إلى صلب، فإن الشكل (11) يبيّن تشابهًا بين المنحنين و تقارباً كبيراً في قيم نتائجهما إذْ كان أكبر فرق في درجات الحرارة يعادل 1.3%， وهذا ما يمكننا من استنتاج أن النموذج الرياضي المقترن لعملية التجمد لهذه العينات هو نموذج قريب من الحقيقة بشكل مقبول ويمكن الاعتماد عليه، على الرغم من الحاجة إلى تطويره بغية الوصول إلى تطابق بين الواقع والتجربة.

و لابد من الإشارة هنا إلى أن تقارب النتائج يعود في جزء كبير منه إلى عدم تعقيد الشكل الهندسي للمسبوكة، أما المسبوكتات المعقدة الشكل فما زالت البحوث مستمرة للوصول إلى نماذج رياضية تقارب إلى درجة عالية الواقع، وهذا واضح في عدد من المراجع المذكورة في نهاية المقالة [1] - [3] مثلاً.



شكل (11)- مقارنة منحني التبريد التجريبى و الحاسوبى

6. المراجع:

- [1] Sergey V., Paolucci S., "Numerical Simulation Of Filling And Solidification Of Permanent Mold Castings", Applied Thermal Engineering, 22 (2002) 229-248.
- [2] Ward M. Judson et.al, "Temperature Measurements on an Aluminum Alloy Permanent Mold Casting Process Under Production Conditions", HTD-Vol. 286, ASME 1994.
- [3] Grong, O., et. Al., "Analytical Modelling Of Equiaxed Solidification", Acta Mater. Vol. 46, No. 14, pp. 5045-5052, 1998
- [4] Metals Handbook, vol. 15, "Casting", ASM International, Metals Park, OH, 1988.
- [5] Flemings, M. C., "Solidification Processing", McGraw-Hill, New York, 1974.
- [6] Kurz W. and Fisher D. J., "Fundamentals of Solidification", 3rd ed. Trans. Tech. Publications, Switzerland, 1989.
- [7] Maxwell I. and Hellawell A., Acta metall., "The constitution and solidification of peritectic alloys in the system Al-Ti" 1975, 23, 229.
- [8] Wang, C. Y. and Beckermann, C., "A unified solute diffusion model for columnar and equiaxed dendritic alloy solidification" Mater. Sci. Eng., Volume 171, 1993, 199-211.
- [9] Almansour A., Matsugi K., Hatayama T. and Yanagisawa O., Mater. Trans., JIM, 1996, 37, 612
- [10] Lewis R W, Morgan K, Thomas H R, Seetharamu K N, "The finite element methods in heat transfer analysis" (New York: John Wiley), 1996.

- [11] Morgan K, Lewis R W, Seetharamu K N, "Modelling heat flow and thermal stress in ingot casting", Simulation 1981,:55–63
- [12] Oeters F, Ruttiger K, Selenz H J, "Heat transfer in ingot pouring", Information Symp. On Casting and Solidification of Steel, Luxembourg, vol. 1, 1977, pp 126–167
- [13] Callister W., "Materials Science and Engineering", John Wiley & sons, 2003
- [14] Kazantsev E. L., "Industrial Furnaces", Mir Publishers, 1977.

تاريخ ورود البحث إلى مجلة جامعة دمشق 2006/5/14